

兰姆移位的一种半定量计算方法*

倪光炯¹⁾ 王海滨²⁾ 严军³⁾ 李海龙⁴⁾

(复旦大学物理系 上海 200433)

摘要 考虑一个自由电子以动量 p 运动时因吸放虚光子而引起自能的辐射修正,用非协变形式的量子微扰论算出它有 $b_2 p^4$ 的形式.在此基础上加上真空极化修正和核有限半径引起的修正,算得氢原子 $2S_{1/2} - 2P_{1/2}$ 态的兰姆移位为 1056.522 MHz,比实验值 1057.845 MHz 仅小 0.13%.用 Dirac 方程作相对论性修正后,还计算了氢原子 $4D_{5/2} - 4S_{1/2}$ 态的能级差,所谓“超兰姆移位”和 $1S$ 态的“绝对”兰姆移位.误差最大达 6.7%,并分析了原因.

关键词 兰姆移位 量子电动力学 辐射修正 微扰论 虚光子 约化质量 重正化 自旋磁矩

1 引言

1947年发现的兰姆移位(Lamb Shift,以下简记为LS),即氢(H)原子的 $2S_{1/2}$ 能级比 $2P_{1/2}$ 能级高出约 1057 MHz(用微波频率表示),对量子电动力学(QED)的建立和发展起了决定性的作用.

90年代后,随着激光研究中倍频分频等变频技术的进步,除对 H 或氘(D)原子的 LS 测量精度提高到^[1-4]

$$L_{2S-2P}^{(H)} \equiv E_H(2S_{1/2}) - E_H(2P_{1/2}) = 1057.845 \text{ MHz} \quad (1)$$

$$L_{2S-2P}^{(D)} \equiv E_D(2S_{1/2}) - E_D(2P_{1/2}) = 1059.230 \text{ MHz} \quad (2)$$

外,还测量了如下的能级差:

$$\Delta \equiv E_H(4S) - E_H(2S) - \frac{1}{4}[E_H(2S) - E_H(1S)] = 4797.338(10) \text{ MHz}, \quad (3)$$

$$\Delta' \equiv E_H(4D_{5/2}) - E_H(2S) - \frac{1}{4}[E_H(2S) - E_H(1S)] = 6490.144(24) \text{ MHz}, \quad (4)$$

1999-06-09 收稿,1999-09-22 收修改稿

* 国家自然科学基金资助(19377102)

1)E-mail: gjni@fudan.ac.cn

2)现在地址: Department of Physics, University of Michigan, Ann Arbor, MI 48109-1120, USA

3)现在地址: Department of Physics, New York University, 4 Washington Place, NY10003, USA

4)现在地址: Department of Physics, City College of New York, 137th St. & Convent Ave. NY 10031, USA

(对氫分别为 4801.693(20)MHz 和 6494.841(41)MHz)

上式中的组合使最重要的 Bohr 能级项彼此消去,并已扣除超精细结构的修正.再除去由 Dirac 方程导出的相对论性修正 Δ_{DC} 和核的有限质量的(约化质量)修正 Δ_{RM} 后,记

$$\Delta = \Delta_{DC} + \Delta_{RM} + \frac{1}{4}L_{1S} - \frac{5}{4}L_{2S} + L_{4S}, \quad (5)$$

有时称后三项之和为超 LS(Hyper LS, 记为 HLS),再由此推导出 1S 态的(绝对)LS,即 L_{1S} 项,文献[3]给出:

$$L_{1S}^{(H)} = 8172.874(60) \text{ MHz}, \quad (6)$$

$$L_{1S}^{(D)} = 8183.807(78) \text{ MHz}. \quad (7)$$

理论上认为:对一个能级的 LS 作出贡献的辐射修正中,一个电子放、吸一个虚光子所引起的电子自能修正是最主要的;其次是真空极化修正,即一个光子与虚的正负电子对相互转变所引起的对电荷的修正.电子自能的计算经 50 多年,仍感复杂,问题不少,见文献[5].

本文试图对电子自能修正探讨一种简单的半定量计算方法,目的是将计算值与实验值(1),(2)式及由(3),(4)式导出的实验值:

$$\Delta E_{4D-4S}^{(H)} \equiv E_N(4D_{5/2}) - E_H(4S_{1/2}) = 1692.806 \text{ MHz}, \quad (8)$$

$$\Delta E_{4D-4S}^{(D)} \equiv E_D(4D_{5/2}) - E_D(4S_{1/2}) = 1693.148 \text{ MHz}, \quad (9)$$

相比较,结果表明,计算值相对于实验值的误差对(1),(2)式小于 0.2%,而对(8)式则达 1.6%,再如将计算值与(3)式或(6)式比较,误差将更大些,最后将讨论其原因.

2 电子自能修正的非协变计算

我们采用非协变形式的理论来研究类氢原子,则零级近似下的定态薛定谔方程为:

$$H_0 \psi_n = \epsilon_n \psi_n, \quad (10)$$

$$H_0 = \frac{p^2}{2\mu} - \frac{Z\alpha}{r}, \alpha = 1/137.0359895, \quad (11)$$

$$\epsilon_n = -\frac{Z^2 \alpha^2 \mu}{2n^2} = -\frac{Z^2}{n^2} R_y. \quad (12)$$

对氢($Z=1$)的 Rydberg 常数

$$R_y = R_H = \frac{1}{2} \alpha^2 \mu = 3.28805128 \times 10^9 \text{ MHz}. \quad (13)$$

通过规则 $p \rightarrow p + \frac{e}{c} \mathbf{A}$ (电子电荷 $-e$) 引入与电磁场的耦合,则在 H_0 基础上,增加一项相互作用哈密顿量(取库仑规范条件 $\nabla \cdot \mathbf{A} = 0$);

$$H^{(1)} = \frac{e}{\mu c} \hat{\mathbf{A}} \cdot \hat{\mathbf{p}}, \quad (14)$$

再考虑电子有自旋磁矩,又与电磁场有相互作用:

$$(15)$$

其中 g 为电子的回转磁比率:

$$g = 2 \times 1.001159652193, \quad (16)$$

而 \hat{A} 为量子化的电磁场矢势:

$$\hat{A}(\mathbf{r}, t) = \int \frac{d\mathbf{k}}{(2\pi)^{3/2}} \frac{1}{\sqrt{2\omega_k}} \sum_{\lambda=1,2} \boldsymbol{\epsilon}_{k,\lambda} (a_k(t)e^{i\mathbf{k}\cdot\mathbf{r}} + a_k^\dagger(t)e^{-i\mathbf{k}\cdot\mathbf{r}}), \quad (17)$$

其中 k 为光子的波矢, $\omega_k = |\mathbf{k}| = k$ 是其能量, ($\hbar = c = 1$), λ 表示两种横向极化态, 而 a_k 和 a_k^\dagger 则是光子的湮没和产生算符.

现在考虑在质心系中一个动量为 \mathbf{p} 的自由电子, 它通过放、吸一个虚光子而使其能量在 $\epsilon_p = \frac{1}{2\mu}p^2$ 基础上获得增量:

$$\Delta E_p^{(j)} = \sum_i \frac{|\langle i | H^{(j)} | \mathbf{p} \rangle|^2}{\epsilon_p - \epsilon_i} \quad (j = 1, 2), \quad (18)$$

其中初态在体积 V 中归一化: $|\mathbf{p}\rangle = \frac{1}{\sqrt{V}} \exp(i\mathbf{p}\cdot\mathbf{r})$, 而 $|i\rangle$ 表示中间态, 是一个动量为 \mathbf{q} 的虚电子和一个动量为 \mathbf{k} 的虚光子, 如图 1 所示, 中间态能量等于

$$\epsilon_i = \epsilon_q + \omega_k = \frac{1}{2\mu}q^2 + k, \quad (19)$$

\mathbf{q} 和 \mathbf{k} 都取连续谱, 故对 $H^{(j)}$ 的矩阵元作空间积分后, 可将一个 δ 函数 $\delta(\mathbf{p} - \mathbf{q} - \mathbf{k})$ 用 $V/(2\pi)^3$ 代替, 完成对 \mathbf{q} 的积分, 易得

$$\Delta E_p^{(1)} = -\frac{\alpha p^2}{\pi\mu} \int_{-1}^1 d\eta (1 - \eta^2) I, \quad (20)$$

$$I = \int_0^\infty \frac{dk}{k + \xi}, \quad (21)$$

其中 $\eta = \cos\theta$, θ 是 \mathbf{k} 与 \mathbf{p} 的夹角, $\xi = 2(\mu - p\eta)$.

3 “重正化”是“重新确认质量”的步骤

象对 QED 作协变计算时那样, 这里也遇到发散的积分(21), 我们依照文献[6—10]中的精神, 在下面采取一种十分简单而有效的正规化——重正化方法. 为此将(21)式对 ξ (具有质量量纲)求偏导一次:

$$\frac{\partial I}{\partial \xi} = -\int_0^\infty \frac{dk}{(k + \xi)^2} = -\frac{1}{\xi}, \quad (22)$$

它现在收敛了, 再将它对 ξ 积分回到 I :

$$I = -\ln\xi + C_1, \quad (23)$$

其中出现一个任意常数 C_1 . 将(23)式代回(20)式得到

$$\begin{aligned} \Delta E_p^{(1)} = & \frac{\alpha\mu}{\pi} \left[\left(\frac{2}{3} \left(\frac{p}{\mu} \right)^2 + \frac{p}{\mu} - \frac{\mu}{3p} \right) \ln \left(1 + \frac{p}{\mu} \right) + \left(\frac{2}{3} \left(\frac{p}{\mu} \right)^2 - \frac{p}{\mu} + \frac{\mu}{3p} \right) \ln \left(\left| 1 - \frac{p}{\mu} \right| \right) - \right. \\ & \left. \frac{16}{9} \left(\frac{p}{\mu} \right)^2 + \frac{2}{3} + \left(\frac{4}{3} \ln 2 + \frac{4}{3} \ln \mu - \frac{4}{3} C_1 \right) \left(\frac{p}{\mu} \right)^2 \right] = \end{aligned}$$

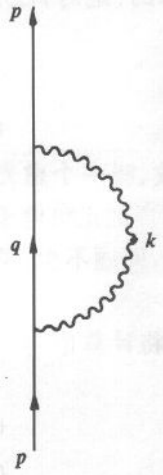


图1 在非协变形式 QED 中计算电子自能辐射修正的圈图 (在两个顶角上用 $H^{(1)}$ 或 $H^{(2)}$, 它们之间没有干涉项, 因电子平面波态无极化.)

$$b_1^{(1)} p^2 + b_2^{(1)} p^4 + \dots, \quad (24)$$

$$b_1^{(1)} = \frac{\alpha}{\pi\mu} \left(\frac{4}{3} \ln 2 + \frac{4}{3} \ln \mu - \frac{4}{3} C_1 \right), \quad (25)$$

$$b_2^{(1)} = \frac{\alpha}{\pi\mu^3} \left(-\frac{2}{15} \right), \quad (26)$$

注意: $b_1^{(1)} p^2$ 这一项将与原来(11)式中无自旋粒子的动能项合并, 它们是不可分辨的, 任意常数 C_1 的出现恰好反映了下述事实: 我们不能通过微扰论计算 $\Delta E_p^{(1)}$ 来得到电子的约化质量. 所以选择 $b_1^{(1)} = 0$ 来确认(11)式中 μ 的数值(但 μ 还不是最后可观察的质量, 见下). 总之, μ 是由实验确定的而不是理论计算的.

类似地讨论 $H^{(2)}$, 它会引起状态 $|p, \pm \frac{1}{2}\rangle$ 与 $|q, \pm \frac{1}{2}\rangle$ 之间的自旋 flip 过程, 于是

$$\Delta E_p^{(2)} = \frac{1}{2} \sum_{i \neq p} \frac{|\langle i | H^{(2)} | p, S_z \rangle|^2}{\epsilon_p - \epsilon_i} = -\frac{ag^2}{8\pi\mu} \int_{-1}^1 d\eta J, \quad (27)$$

$$J = \int_0^\infty \frac{k^2 dk}{k + \xi}, \quad (28)$$

这个发散积分需要对 ξ 求三次偏导:

$$\frac{\partial^3 J}{\partial \xi^3} = -\frac{2}{\xi}, \quad J = -\xi^2 \ln \xi + C_2 \xi^2 + C_3 \xi + C_4 \quad (29)$$

$$\begin{aligned} \Delta E_p^{(2)} &= \frac{g^2 \alpha \mu}{4\pi} \left\{ \frac{2\mu}{3p} \left[\left(1 + \frac{p}{\mu}\right)^3 \ln \left(1 + \frac{p}{\mu}\right) - \left(1 - \frac{p}{\mu}\right)^3 \ln \left|1 - \frac{p}{\mu}\right| \right] - \frac{22}{9} \left(\frac{p}{\mu}\right)^2 \right. \\ &\quad \left. \frac{4}{3} + 4(\ln 2 + \ln \mu) - 4C_2 - \frac{2C_3}{\mu} - \frac{C_4}{\mu^2} + \left(\frac{4}{3} \ln 2 + 2 + \frac{4}{3} \ln \mu - \frac{4}{3} C_2\right) \left(\frac{p}{\mu}\right)^2 \right\} = \\ &\quad b_0^{(2)} + b_1^{(2)} p^2 + b_2^{(2)} p^4 + \dots, \quad (30) \end{aligned}$$

$$b_0^{(2)} = \frac{g^2}{4} \frac{\alpha \mu}{\pi} \left[4(\ln 2 + \ln \mu) - 4C_2 - \frac{2C_3}{\mu} - \frac{C_4}{\mu^2} \right], \quad (31)$$

$$b_1^{(2)} = \frac{g^2}{4} \frac{\alpha}{\pi\mu} \left(\frac{4}{3} \ln 2 + 2 + \frac{4}{3} \ln \mu - \frac{4}{3} C_2 \right), \quad (32)$$

$$b_2^{(2)} = \frac{g^2}{4} \frac{\alpha}{\pi\mu^3} \left(-\frac{1}{15} \right). \quad (33)$$

现在我们来确定三个任意常数 C_2, C_3 和 C_4 . 首先, $b_1^{(2)} p^2$ 项应与 $\frac{p^2}{2\mu}$ 项合并, 但 μ 既已确定, 由于电子自旋引起的 $b_1^{(2)} p^2$ 项便会进一步对 μ 作修正, 故 C_2 的唯一可能选择是消去 $b_1^{(2)}$ 和 $b_0^{(2)}$ 中的不确定项: $C_2 = \ln \mu$. 于是

$$b_1^{(2)} = \frac{\beta}{2\mu}, \quad \beta = \frac{g^2 \alpha}{2\pi} \left(\frac{4}{3} \ln 2 + 2 \right), \quad (34)$$

另外, 必须选择常数 C_3 和 C_4 使得 $b_0^{(2)} = 0$, 这表示我们理论的出发点是没有静能项的方程(10), 而电子和原子核的质量都确定了.

由此可见, $b_1^{(2)} p^2$ 使 μ 经过确定而有限的修正后变为可观察的

$$\mu_{\text{obs}} = \frac{\mu}{1 + \beta}. \quad (35)$$

然而,我们要考虑电子的相对论性能量(在质心系)

$$\sqrt{\mu^2 + p^2} = \mu + \frac{p^2}{2\mu} - \frac{p^4}{8\mu^3} + \dots, \quad (36)$$

第三项 $\left(-\frac{p^4}{8\mu^3}\right)$ 在(11)式中虽未明显出现,(35)式所表示的对 μ 的修正也引起相应的改变 $-\frac{1}{8}\left(\frac{1}{\mu_{\text{obs}}^3} - \frac{1}{\mu^3}\right)p^4$,它应作为看不见的“本底”从可观察的辐射修正引起的 p^4 项中减去,(相对论性修正是另外做的,见下).所以,合并 $H^{(1)}$ 和 $H^{(2)}$ 的贡献,我们有

$$b_1 = b_1^{(1)} + b_1^{(2)} = b_1^{(2)}, \quad (37)$$

而“重正化”后的

$$b_2^R = b_2^{(1)} + b_2^{(2)} + \frac{1}{8\mu^3}(3\beta + 3\beta^2 + \beta^3) \cong \frac{\alpha}{\pi\mu_{\text{obs}}^3}(1.998082), \quad (38)$$

最后一步中根据一阶微扰论的精神,略去 $O(\alpha^2)$ 的项并取 $\mu \approx \mu_{\text{obs}}$,以后简记 μ_{obs} 为 μ , b_2^R 为 b_2 .

4 相对于玻尔能级移位的半定量计算

1. 电子自能修正 $\Delta E_{Znl}^{\text{Rad}}$. 在导出(38)式后,我们不难计算在(10)式定态中 p^4 的期待值:

$$\overline{p^4} = \langle Znl | p^4 | Znl \rangle = 4\mu^2 \langle Znl | (H_0 - V)(H_0 - V) | Znl \rangle =$$

$$4\mu^2 (\epsilon_n^2 - 2\epsilon_n \bar{V} + \bar{V}^2)$$

因 $\bar{V} = 2\epsilon_n$, $\bar{V}^2 = \frac{2Z^4 \alpha^4 \mu^2}{n^3(2l+1)}$ (文献[11]),

$$\Delta E_{Znl}^{\text{Rad}} = \left[\frac{8n}{(2l+1)} - 3 \right] \frac{b_2 Z^4}{n^4 a^4}, \quad (39)$$

其中 $a = \frac{1}{\alpha\mu}$ 是玻尔半径.

2. 相对论性修正由 Dirac 方程定态能量中 m 改成 μ 而给出^[12,13]:

$$\Delta E_{Znj}^{\text{Rel}} = -Ry \frac{Z^4 \alpha^2}{n^4} \left\{ \frac{n}{j + \frac{1}{2}} - \frac{3}{4} \right\} \quad (40)$$

3. 真空极化修正,仍用协变形式 QED 中一圈图诱导 Uehling 势的结果^[12,13],它只对 S 态有(负的)贡献:

$$\Delta E^{\text{VP}} = -\frac{8\alpha^3 Z^4}{15\pi n^3} \left(\frac{\mu}{m} \right)^2 Ry \delta_{l0}. \quad (41)$$

4. 原子核有半径 r_N 而引起对 S 态电子的能量修正^[14]:

$$\Delta E^{\text{Nu}} = \frac{4}{5} \frac{Z^4}{n^3} \left(\frac{r_N}{a} \right)^2 Ry \delta_{l0}. \quad (42)$$

这四项贡献中,1和2是最主要的,3次之,4最小.

5. 对氢原子, $Z=1$, $m_p = 1836.1527 m_e$, $r_p = 0.862 \text{ fm}$:

$$\frac{b_2}{a^4} = 1625.2796 \text{ MHz}, \quad (43)$$

$$\Delta E_{2S_{1/2}-2P_{1/2}}^{\text{Rad}} = \frac{2}{3} \frac{b_2}{a^4} = 1083.5197 \text{ MHz},$$

$$\Delta E_{2S_{1/2}}^{\text{VP}} = -27.0845 \text{ MHz},$$

$$\Delta E_{2S_{1/2}}^{\text{Nu}} = 0.0865 \text{ MHz},$$

故 $2S_{1/2} - 2P_{1/2}$ 态 LS 的理论值为

$$L_{2S-2P}^{(\text{H})\text{th}} = 1056.522 \text{ MHz}, \quad (44)$$

这比实测值(1)式约小 0.13%.

6. 对氘原子, $m_d = 3670.4831 m_e$, $r_d = 2.115 \text{ fm}$, 可得

$$L_{2S-2P}^{(\text{D})\text{th}} = 1057.229 \text{ MHz}, \quad (45)$$

这比实验值(2)式约小 0.19%.

7. 对氢原子 $4D_{5/2} - 4S_{1/2}$ 的能级差((8)式), 相对论性修正是最大的一项:

$$\Delta E_{4D-4S}^{\text{Rel}} = 1823.8875 \text{ MHz},$$

而电子自能贡献居第二位, 且为负值:

$$\Delta E_{4D-4S}^{\text{Rad}} = -\frac{1}{10} \frac{b_2}{a^4} = -162.528 \text{ MHz},$$

再加上较小的 $\Delta E_{4D-4S}^{\text{VP}} = 3.3856 \text{ MHz}$ 及更小的 $\Delta E_{4D-4S}^{\text{Nu}} = -0.0108 \text{ MHz}$, 最后得到

$$\Delta E_{4D-4S}^{(\text{H})\text{th}} = 1664.734 \text{ MHz}, \quad (46)$$

这比实验值(8)式小 1.66%.

8. 如果直接与实测的(3)式比较(简记为 HLS), 则

$$\Delta E^{\text{Rad}}(\text{HLS}) = 3932.7576 \text{ MHz},$$

$$\Delta E^{\text{VP}}(\text{HLS}) = 565.0386 \text{ MHz},$$

$$\Delta E^{\text{Nu}}(\text{HLS}) = -23.6989 \text{ MHz},$$

$$\Delta E^{\text{VP}}(\text{HLS}) = 0.0757 \text{ MHz},$$

加起来得理论值

$$\Delta^{\text{th}} = E_{4S} - \frac{5}{4} E_{2S} + \frac{1}{4} E_{1S} = 4474.173 \text{ MHz}, \quad (47)$$

这比实验值(3)式小了 6.7%.

9. 如果从理论上直接算氢原子 $1S$ 态的 LS, 则

$$\Delta E_{1S}^{\text{Rad}} = 5 \frac{b_2}{a^4} = 8126.398 \text{ MHz},$$

此时按文献[3]定义, 不计相对论性修正, 但加上 $\Delta E_{1S}^{\text{VP}}$ 和 $\Delta E_{1S}^{\text{Nu}}$, 得

$$L_{1S}^{(\text{H})\text{th}} = 7910.414 \text{ MHz}, \quad (48)$$

这比文献[3]所给之(6)式(是实验结合理论分析的值)约小 3.2%.

5 总结与讨论

1. 对类氢原子能级与玻尔能级偏离值的半定量计算是(39),(40),(41)和(42)四式之和,其中(39)式是本文新导出的对电子自能的修正.

2. 关键点在于:电子自能的辐射修正诱导出一项 $b_2 p^4$, 而系数 b_2 可以在非协变的 QED 微扰论计算中得出.

3. 计算中对发散的清楚处理表明:所谓质量重正化乃是对质量的重新确认过程. 电子质量是我们所不能计算的,我们只能算它的修正,事实上,LS 可视为电子在不同束缚状态下的质量修正. 还要注意,我们只能在令 $b_1^{(1)} = 0$ 后,才能确认(11)式中无自旋粒子的质量 μ , 它已吸收了 $H^{(1)}$ 引起的辐射修正,在此基础上才能考虑因自旋引起的 $H^{(2)}$ 的修正. 我们不能跳过第一步(否则 μ 没有定义),也不能两步并一步走.

4. (46)–(48)等式的计算结果系统地偏小,原因可能是:(a)我们用了非相对性的电子波函数算自能修正,这对 S 态引起的误差可能较大(尤其是 1S 态,Dirac 波函数在原点发散,它包含有比 Bohr 波函数更多的 p^4 成分);(b)用 Dirac 方程计算相对论性修正(用 m 换成 μ 计入核的有限质量)也值得怀疑. 在我们看来,电子被核束缚时,电子内部隐藏的反粒子成分随结合能增大而增大^[15],但在 Dirac 方程中核被当成一个不变的势场中心,而实际上核也应该有一些变化(也有一些反粒子成分).(c)其它高阶 QED 修正等等.

5. 本文用非协变 QED 一阶微扰论计算的公式连同图 1,并没有出现明显的反粒子虚态. 事实上,QED 不允许在一个顶角上湮没一个电子而产生一个正电子;同时湮没或产生一对正负电子虽然是允许的,却又会在所谓“时间反向”的费曼图中出现同一时间内存在两个同样动量(p)的电子,而这是 Pauli 不相容原理所禁戒的.

我们将在以后的文章中进一步讨论这些问题.

参考文献(References)

- 1 Weitz M, Schmidt-Kaler F, Hansch T W. Phys. Rev. Lett., 1992, **68**(8):1120–1123
- 2 Weitz M, Huder A, Schmidt-Kaler F et al. Phys. Rev. Lett., 1994, **72**(3):328–331
- 3 Weitz M et al. Phys. Rev., 1995, **A52**(4):2664–2681
- 4 De Beauvoir B et al. Phys. Rev. Lett., 1997, **78**(3):440–443
- 5 Jentschura U D, Mohr P J, Soff G. Phys. Rev. Lett., 1999, **82**(1):53–56
- 6 YANG JiFeng, Thesis for PhD, Fudan University 1994 (in Chinese); Preprint, hep-th/9708104; hep-th/9801005, hep-th/9807037; YANG JiFeng, Ni GJ. Acta Physica Sinica (Overseas Edition), 1995, **4**(1):88–98
(杨继锋, 博士论文, 复旦大学, 1994)
- 7 NI G J, CHEN S Q. Acta Physica Sinica (Overseas Edition), 1998, **7**(6):401–413; (hep-th/9708155)
- 8 NI G J, LOU S Y, LU W F et al. Science in China (Series A), 1998, **41**(11):1206–1215 (hep-ph/9801264)
- 9 NI G J. Kexue (Science) (in Chinese), 1998, **50**(3):36–40 (quant-ph/9806009)
(倪光炯. 科学, 1998, **50**(3):36–40)
- 10 NI G J, WANG HaiBin. Why We Encounter Infinity in Quantum Field Theory and How to Deal with it? Physics Since Parity Symmetry Breaking in Memory of Professor C. S. Wu Edit: F. Wang. World Scientific, 1998. 436–442
- 11 ZENG J Y. Quantum Mechanics, Vol I, Beijing: Science Press (in Chinese), 1995, Chapt 6

- (曾谨言. 量子力学, 卷 I, 北京: 科学出版社, 1995, 第六章)
- 12 Bjorken J D, Drell S D. *Relativistic Quantum Mechanics*, McGraw-Hill Book Company, 1964. 55, 158
 - 13 Sakurai J J. *Advanced Quantum Mechanics*, Addison-Wesley Publishing Company, 1967. 127, 280
 - 14 QIAN B C, ZENG J Y. *Selection and Analysis of Problems in Quantum Mechanics*, Beijing: Science Press (in Chinese), 1995, 391
(钱伯初, 曾谨言. 量子力学学习题精选与剖析, 北京: 科学出版社, 1995. 391)
 - 15 NI G J, ZHOU W M, YAN J. *Proceeding of International Workshop "Lorentz Group, CPT, and Neutrinos"*, World Scientific. to be published

Lamb Shift Calculated by a Semiquantitative Method

NI GuangJiong¹⁾ WANG HaiBin YAN Jun³⁾ LI HaiLong⁴⁾

(Department of Physics, Fudan University, Shanghai 200433, China)

Abstract The radiative correction of self-energy of an electron moving with momentum p and emitting-absorbing the virtual photon is calculated by the noncovariant quantum perturbation theory to have the form being $b_2 p^4$. After adding modifications arising from the vacuum polarization and finite nucleus size, we find the Lamb shift (LS) of $2S_{1/2} - 2P_{1/2}$ states in Hydrogen atom being 1056.522 MHz, smaller than the experimental value 1057.845 MHz by 0.13%. Taking the relativistic modification by Dirac equation into account, the energy differences of $4D_{5/2} - 4S_{1/2}$ states, the so-called Hyper LS and absolute LS of 1S state in Hydrogen are also calculated with maximum discrepancy up to 6.7%. The reasons are analyzed. For dealing with the divergence, we propose a simple but effective regularization-renormalization method, showing that we have to reconfirm the reduced mass first before bringing a finite and fixed modification to it via radiative corrections.

Key words Lamb shift, quantum electrodynamics, radiation correction, perturbation theory, virtual photon, reduced mass, renormalization, spin magnetic moment

Received 9 June 1999, Revised 22 September

* Supported by National Natural Science Foundation of China(19377102)

1)E-mail: gjni@fudan.ac.cn

2)Present address: Department of Physics, University of Michigan, Ann Arbor, MI48109 - 1120, USA

3)Present address: Department of Physics, New York University, 4 Washington Place, NY10003, USA

4)Present address: Department of Physics, City College of New York, 137th St. & Convent Ave. NY 10031, USA